

ارزیابی تعیین بعده ساختارهای ژئوالکتریک زیرسطحی و مدلسازی وارون یک و دوبعدی داده‌های مگنتوتلوریک منطقه زمین‌گرمایی شمال غرب سبلان

الله‌یار خوجملی^۱، علی مرادزاده^{۲*}، فرامرز دولتی اردله‌جانی^۳، سهیل پرخیال^۳، محمد رضا رحمانی^۳

^۱دانشکده مهندسی معدن، نفت و ژئوفیزیک، دانشگاه صنعتی شهرورد، ایران

^۲دانشکده مهندسی معدن، پردیس دانشکده‌های فنی دانشگاه تهران و دانشکده معدن، نفت و ژئوفیزیک، دانشگاه شهرورد

^۳بخش انرژی زمین‌گرمایی، سازمان انرژی‌های نو، وزارت نیرو، ایران

(تاریخ دریافت: ۹۴/۰۱/۲۶، تاریخ پذیرش: ۹۴/۰۱/۱۵)

چکیده

مگنتوتلوریک یکی از روش‌های اکتشاف ژئوفیزیکی است که از ثبت هم‌زمان میدان‌های طبیعی مغناطیسی و الکتریکی القایی در زمین استفاده می‌کند. از آنجاکه این روش از سیگنال‌های الکترومغناطیسی طبیعی با بازه وسیع بسامدی بهره می‌گیرد عمق اکتشاف آن از چند ده متر تا چندین کیلومتر تغییر می‌کند. در تحقیق حاضر تلاش می‌شود تا با بهره‌گیری از پارامترهای ابعادی متفاوتی مثل چولگی، بیضی‌وارگی، چولگی حساس به فاز، و شاخص‌های وزنی D_1 , D_2 , D_3 بعد ساختارهای ژئوالکتریک زیرسطحی به کمک داده‌های مگنتوتلوریک شمال غرب سبلان تعیین شود. در ادامه سعی خواهد شد تا با مدلسازی یک بعدی و دوبعدی داده‌های فاز و مقاومت ویژه ظاهری چندین سونداژ مگنتوتلوریک واقع بر یک نیم‌رخ واقع در دره مویل، محل قرارگیری منبع زمین‌گرمایی احتمالی منطقه تعیین شود. نتایج تحلیل پارامترهای ابعادی نشان می‌دهد که ساختار زمین‌شناسی و ژئوالکتریکی منطقه برای دورهای زمانی کمتر از ۱ ثانیه (معادل اعمق کم تا متوسط) یک بعدی و در دورهای زمانی بیشتر از آن (اعماق زیاد) اغلب دوبعدی است. همچنین نتایج حاصل از مدلسازی یک بعدی و دوبعدی داده‌های سونداژهای مگنتوتلوریک و تفسیر آنها همراه با نتایج حفاری موجود گویای آن است که لایه‌های موجود در اعماق کمتر از ۱۰۰۰ متری با مقاومت ویژه کمتر از ۴۰ اهمتر را می‌توان به سنگپوش رُسی که در بالای منبع زمین‌گرمایی قرار گرفته است نسبت داد. در زیر این پوشش رُسی طبقات سنگی با مقاومت ویژه بین ۴۰ تا ۱۰۰ اهمتر قرار دارند که می‌توان آن را به منزله سنگ مخزن منبع زمین‌گرمایی احتمالی منطقه تفسیر کرد.

واژه‌های کلیدی: مگنتوتلوریک، منبع زمین‌گرمایی، پارامترهای ابعادی، مدلسازی یک بعدی و دوبعدی، سنگ مخزن

An assessment of the dimensionality of subsurface geoelectric structures and 1-D and 2-D inverse modelling of magnetotelluric data in NW of Sabalan geothermal region

Allahyar Khojamli¹, Ali Moradzadeh², Faramarz Doulati Ardejani², Soheil Porkhial³, Mohammad Reza Rahmani³

¹Faculty of Mining, Petroleum and Geophysics, Shahrood University of Technology, Iran

²School of Mining, College of Eng., Univ. of Tehran (and Faculty of Mining, Petroleum and Geophysics, Shahrood University), Iran

³Geothermal Division, Renewable Energy Organization-SUNA, Ministry of Energy, Iran

(Received: 15 April, 2013, accepted: 4 April, 2015)

*Corresponding author:

a_moradzadeh@ut.ac.ir

*نگارنده رابط:

Summary

Magnetotelluric (MT) is a geophysical exploration method that utilizes simultaneous measurements of naturally occurring magnetic and electric fields. As this method utilizes natural electromagnetic (EM) signals with a wide frequency range, its exploration depth is from several meters to several kilometers. Depending on its frequency, it is used for petroleum, groundwater, geothermal, mineral, and geotechnical explorations.

To determine electrical variation of a subsurface structure using the MT survey, five components of electric and magnetic field variation are measured on the earth's surface in each measuring site. The two components of the horizontal electric field (E_x and E_y) and also two horizontal components of the magnetic field (H_x and H_y) are normally measured in the north-south (x) and east-west (y) directions. An extra measurement of the vertical component of the magnetic field (H_z) is sometime measured in each measuring site. The relationship between the electric and magnetic fields at the earth's surface can be written as $E_i = Z_{ij}H_j$ where, $i, j = x, y$ and Z_{ij} is the complex impedance tensor of order 2×2 . When the resistivity of the earth is a function of depth (i.e. in a one-dimensional earth), the diagonal elements of impedance tensor (Z) are equal to zero and its off-diagonal elements are equal in amplitude but opposite in signs. In two-dimensional (2-D) structures where resistivity is invariant in the strike direction, diagonal terms become zero if the EM fields are defined in a coordinate system normal to the strike of the structure. In such cases, the impedance component of the electric field which is parallel to strike (i.e. transverse electric (TE) mode) would be different from those components of the electric field perpendicular to the strike (i.e. the transverse magnetic (TM) mode). In the case of 2-D structures, if the impedance is measured in an arbitrary orientation, the angle required to rotate the measurements into TE and TM modes can be determined from the impedance tensor. In the case of the three-dimensional (3-D) earth, the entire components of Z would be non-zero.

Presently, most of the MT survey is performed as electrical sounding and the measured data is then modeled and interpreted to sense the details of the subsurface structure. To provide a reasonable and physically meaningful model of the subsurface structure, its dimension must be determined somehow. To determine the dimensionality of the subsurface structure using MT data, several parameters such as conventional skew, ellipticity and polar diagrams of the impedance tensor elements are used in practice. As these parameters are very sensitive to the noise of data, the phase sensitive skew and some dimensionality indices were defined.

In this study, it was attempted to use various parameters such as conventional skew, ellipticity and phase sensitive skew along with dimensionality weighting indices (D_1 , D_2 , D_3) to determine the structural dimension of the Sabalan geothermal field in the NW of Iran using MT data. It was also attempted to model the MT data of several sites along a profile located in Moil valley in the NW of Sabalan in order to determine any possible location of the geothermal reservoirs.

The obtained results indicated that the structure up to the medium depth was 1-D and the deepest structure was 2-D. As the subsurface structure of the area was 1-D at periods lower than 1 second, the averaged data of both TE and TM modes were first inverted one-dimensionally using the WinGlink software to explore and delineate the locations of any geothermal reservoirs likely to be present in the study area.

The inversion results illustrated a layered structure located from the ground surface to the depth level of 1500 meters above the sea level (m.a.s.l) which in turn confirmed the shallow depth structures were 1-D. The results also showed a highly conductive layer, with resistivity lower than $40 \Omega\text{m}$ located beneath the MT stations of 24 to 244. The results of drilling revealed that this conductive zone could be interpreted as a clay cap over the geothermal reservoir which elongates to an approximate depth of 1000 meter. This clay zone overlays a more resistive zone, with resistivity values from 40 to $100 \Omega\text{m}$, which in turn can be interpreted as a geothermal reservoir. The data from a 2-D joint inversion of the TE and TM modes confirmed the results of the 1-D inversion of the MT data for shallow to intermediate depths. It further delineated that the location of the geothermal reservoir was at a depth zone of 500-1500 m.a.s.l. under the sounding location of 7-245 in the south to south eastern part of the study area.

Keyword: Magnetotelluric, geothermal resource, dimensionality parameters, 1-D and 2-D modeling, reservoir rock

سطح زمین بازتاب می‌یابند و بخش کوچکی به صورت امواج تحت شباهستا (quasi stationary plane wave) و امواج الکترومغناطیسی تحت هم‌آهنگی به زمین نفوذ می‌کنند. مورد آخر میدانی است که در روش مگنتوتولوریک در سطح زمین ثبت می‌شود. بنابراین تغییرات میدان مغناطیسی متغیر، در زمین رسانا جریان‌های تولویریکی القا می‌کند و باعث تغییر ولتاژ می‌شود. این امر تغییر ولتاژ میدان الکتریکی و تغییرات خود میدان را در پی دارد که همراه با میدان مغناطیسی در سطح زمین برداشت می‌شود (لزیتا، ۲۰۰۱).

استفاده از روش‌های الکترومغناطیسی در اکتشاف منابع زمین گرمایی نخست در ۱۹۷۰ عنوان شد. سپس روش AMT (روش مگنتوتولوریک در حوزه بسامد شنوازی با بازه بسامدی ۲۰۰۰۰ تا ۲۰ هرتز) در اکتشافات منابع زمین گرمایی گزارش شد. درنهایت روش‌های مگنتوتولوریک تansوری و بسامدی نیز در حکم یک روش موثر ژئوفیزیکی در اکتشاف منابع زمین گرمایی مطرح شد (رایت و همکاران، ۱۹۸۵). از آن پس روش مگنتوتولوریک به منزله روشهای قدرتمند به منظور اکتشاف منابع زمین گرمایی تشخیص داده شد. در کشور ما نیز به منظور اکتشافات ناحیه‌ای حوزه زمین گرمایی سبلان، در ۱۹۹۸ برداشت داده‌های سوندای مگنتوتولوریک (با بازه بسامدی ۰۰۲ تا ۸۰۰۰ هرتز) در ۲۱۲ ایستگاه در اطراف کوه سبلان صورت گرفت که منجر به معرفی ۵ بی‌亨جاری ژئوتمال شد که پراهمیت‌ترین آنها بی‌亨جاری قینارچ نام دارد که در شمال غرب سبلان و داخل دره موئیل قرار می‌گیرد (کینگستون موریسون، ۱۹۹۸ و ۱۹۹۹). براساس نتایج بررسی‌های صورت گرفته و بناء به پیشنهاد شرکت مشاور نیوزلندی کینگستون

۱ مقدمه

سابقه روش مگنتوتولوریک (MT: magnetotelluric) به منزله یک روش اکتشاف ژئوفیزیکی به ۱۹۵۰ بازمی‌گردد. اولین بار تیخانوف (۱۹۵۰) و کانیارد (۱۹۵۳) مبانی نظری و نحوه به کار گیری عملی این روش را عرضه کردند. روش مگنتوتولوریک (MT) یک روش ژئوفیزیکی سطحی غیرفعال است که از میدان‌های الکترومغناطیسی طبیعی زمین برای بررسی ساختار مقاومت ویژه الکتریکی زیرسطحی استفاده می‌کند. ممکن است چشمه‌های مصنوعی میدان الکترومغناطیسی نیز در محل برداشت وجود داشته باشد و ایجاد نوافه کند که در مرحله پردازش، اثر این نوافه‌ها باید به نحوی از بین برده شود (کافمن و کلر، ۱۹۸۱). عمق بررسی روش MT بسیار بیشتر از دیگر روش‌های الکترومغناطیسی (EM) است به طوری که عمق نفوذ این روش از ده‌ها متر تا چندین کیلومتر است (وزوف، ۱۹۹۱). چشمه‌های امواج الکترومغناطیسی که در روش MT مورد استفاده قرار می‌گیرند میدان‌های الکترومغناطیسی هستند که در فضا (غلب به علت توفان-های خورشیدی) تشکیل می‌شوند و میدان مغناطیسی زمین را دچار آشفتگی می‌کنند. این آشفتگی، مغناطیس سپهر را، که بخشی از آن از پلاسمای یونیده تشکیل شده است، تغییر می‌دهد (وزوف، ۱۹۷۲). منشاء دیگر نوسانات الکترومغناطیسی، یون سپهر است (که در اثر تابش پرتو فرابنفش یونیده شده و در نتیجه جریان‌های الکتریکی با چگالی جریان متفاوتی ایجاد می‌کند) که منجر به تغییر الکترومغناطیسی طبیعی به نسبت قوی روزانه می‌شود. این میدان‌های الکترومغناطیسی متغیر در جو زمین (با رسانایی بسیار کم) منتشر می‌شوند و به صورت امواج شب‌همگن به سطح زمین می‌رسند. بخش زیادی از میدان‌های تابشی در

مگنتوتلوریک در این ناحیه، تعیین محدوده محلول‌های فعال گرمایی در منطقه بوده است که نظر به دارا بودن یون‌های گوناگون رسانایی زیادی دارند.

هدف این تحقیق تعیین بعد ساختارهای ژئوتکنیک زیرسطحی منطقه با استفاده از مجموعه‌ای از اندیس‌ها و پارامترهای بعدی مفید است. همچنین به‌منظور بررسی تغییرات عمقی مقاومت ویژه لایه‌ها و محل قرارگیری مخزن احتمالی زمین‌گرمایی مدل‌سازی یک بعدی و دوبعدی روی سوندائرها نیز صورت می‌گیرد و نتایج با هم مقایسه می‌شود.

۲ زمین‌شناسی منطقه مورد بررسی

منطقه مورد بررسی در شمال غرب کوه سبلان، در ۱۶ کیلومتری جنوب مشکین شهر و در دره مویل واقع شده است. چشمه‌های آبگرم و دودخانه‌ای (Fumarole) فراوانی در شیب شمالی کوه سبلان و در تقاطع گسل‌ها و شکستگی‌های سامانه گرمایی وجود دارند که از شکاف آنها دود و بخار متضاد می‌شوند.

ناحیه مورد بررسی شامل مجموعه‌ای از سنگ‌های آتشفسانی جوان است که از دیدگاه زمین‌گرمایی دارای ارزش تحقیقاتی است. چهار واحد اصلی چینه‌شناسی در محدوده مورد بررسی وجود دارد که به ترتیب سن از قدیم به جدید عبارت‌اند از: سازند ول‌هزیر: این سازند متشکل از گدازه‌های تراکی آندزیت، توف‌ها و برش‌های پیروکلاستیک قبل از تشکیل کالدرای پلیوسن با ضخامت حداقل ۲۰۰۰ متر است. سازند تواس: این سازند شامل گدازه‌ها و گنبدهای ریولیتی، تراکی داسیت تا تراکی آندزیت هم‌زمان با تشکیل کالدرای پلیوسن است. این واحدهای سنگی در حکم حاشیه داخلی کالدرانیز تفسیر می‌شوند. سازند کسرا: این سازند شامل گدازه‌های آتشفسانی و تراکی آندزیت بعد از تشکیل کالدرای پلیوسن است. سازند دیزو: این سازند شامل رسوبات عهد

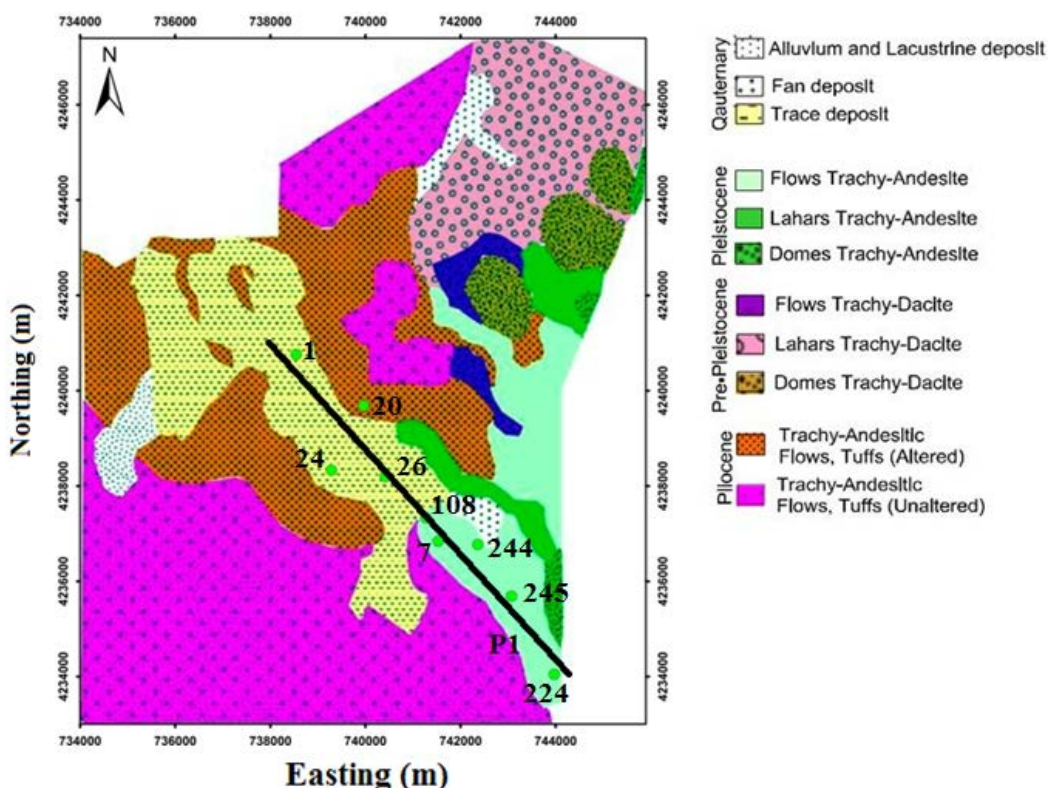
موریسون در مرحله اول حفاری سه چاه عمیق ژئوترمال با نام‌های NWS-1، NWS-4 و NWS-3 همراه با حفاری ۲۰۰۲ چاه کم عمق تاریقی به منظور تکمیل نتایج، طی سال‌های ۲۰۰۴ تا ۲۰۰۶ توسط شرکت ملی حفاری ایران صورت گرفت. در سال ۲۰۰۳ همین شرکت نیوزلندی بخشی از داده‌های مگنتوتلوریک با کیفیت خوب را (در محدوده بسامدی ۴ تا ۱۰۰۰ هرتز) همراه با داده‌های حاصل از حفاری، مدل‌سازی و دوباره تحلیل کرد (SKM, 2003). در مجموع براساس نتایج این مدل‌سازی‌ها نتیجه گرفته شد که چاه حفاری شده NWS-1 در نزدیکی محل خروجی (outflow) جریان سامانه گرمایی منطقه است و از آنجا که گسترش زون بی‌هنگار با مقاومت ویژه کم با ضخامت کمتر و در ارتفاعات بالاتر به سمت جنوب شرق چاه NWS-1 نیز ادامه پیدا می‌کند می‌توان گفت که محل بالا آمدن (upflow) شاره‌ها و گازهای داغ (محل مخزن ژئوترمال احتمالی) احتمالاً به سمت جنوب شرق است که باید با برداشت داده‌های مگنتوتلوریک در نوارهای بسامدی پایین‌تر و ادامه حفاری در این سمت بیشتر بررسی شود.

همچنین طالبی و همکاران (۲۰۰۵) بخشی از داده‌های برداشت شده در ۱۹۹۸ را همراه با نتایج حفاری‌های صورت گرفته دوباره تحلیل کردند. آنها نیز همانند تفسیر ۲۰۰۳ شرکت نیوزلندی SKM نتیجه گرفتند که منبع زمین‌گرمایی اصلی و محل بالا آمدن شاره‌ها و گازهای داغ باید به طرف جنوب شرق چاه NWS-1 باشد. به همین منظور و بنا به درخواست سازمان انرژی‌های نو ایران (سانا) در ادامه یک تیم اختصاصی از شرکت فیلیپینی EDC برداشت ۷۸ سوندائر عمیق مگنتوتلوریک (با بازه بسامدی ۰/۰۰۰۵ تا ۳۸۵ هرتز) را در سال‌های ۲۰۰۷ و ۲۰۰۹ در قسمت‌های شرق و جنوب شرق چاه NWS-1 (شرق و جنوب شرق دره مویل) در دو فاز عرضه کرد و به انجام رساند (EDC, 2008; 2010). هدف استفاده از روش

زمین‌گرمایی باید موقعیت‌های گوناگون منابع تشخیص داده شود. تفاوت اساسی بین سامانه‌های گرمایی و طبقه‌بندی منابع زمین‌گرمایی براساس آهنگ دگرسانی سنگ‌ها است. مقاومت ویژه در نواحی گرمایی با حضور دگرسانی‌های گرمایی که از کانی‌های رُسی تولید شده است کنترل می‌شود. دما کنترل‌کننده اصلی کانی‌شناسی رُس‌ها است. در بخش‌های کم عمق زمین، کانی‌های رُسی مانند اسمکتیت و زئولیت با مقاومت ویژه کمتر از ۱۰ اهم‌متر وجود دارند که در دمای بالای ۷۰ درجه سلسیوس تشکیل می‌شوند. در دماهای بالاتر کلریت (بیشتر در سنگ‌های بازالتی) و یا ایلیت با مقاومت ویژه کمتر از ۱۰ اهم‌متر (کانی رُسی با هدایت کمتر در سنگ‌های اسیدی) ممکن است ظاهر شود.

حاضر، مخروط افکه و آبرفت، خاکسترها و خرده‌های گدازهای کواترنری است. در بخش‌هایی از منطقه، این سازند شامل رسوباتی می‌شود که روی سنگ‌های آتش‌نشانی را به صورت قشر نازک پوشانده است (نوراللهی و همکاران، ۲۰۰۸) (شکل ۱).

۳ مدل‌های مفهومی از نواحی زمین‌گرمایی
یک سامانه گرمایی از سه بخش اصلی تشکیل شده است:
الف) منع گرما که اغلب اتفاقک ماغماهی یا توده نفوذی است. ب) محزن: حجمی از سنگ‌های نفوذپذیر و متخلخل است که شاره‌های موجود در چرخه، گرما را از آن استخراج می‌کنند. ج) سنگپوش: لایه‌ای با نفوذپذیری کم که مانع اختلاط آب‌های سطحی با آب‌های گرم عمیق می‌شود. در اکتشاف منابع



شکل ۱. نقشه زمین‌شناسی منطقه مورد بررسی و موقعیت نیم‌زیخ و ایستگاه‌های مگنتوتولوریک روی آن.

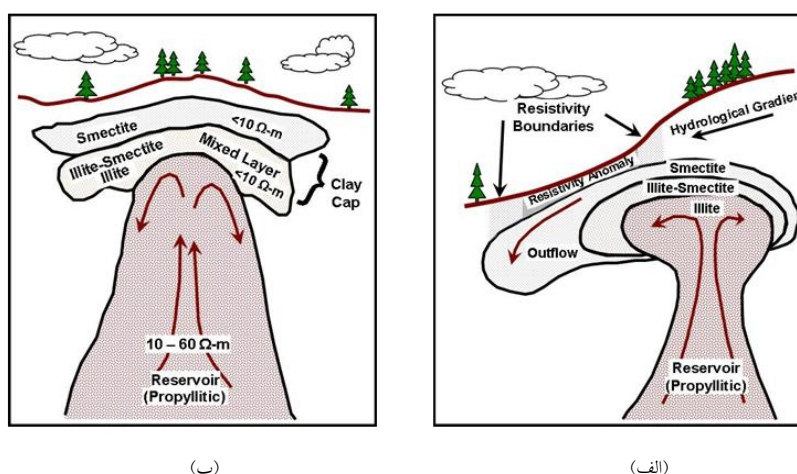
ژاپن یافت شده‌اند (آرناسون و همکاران، ۲۰۰۰؛ اسکوبی و همکاران، ۲۰۰۵؛ اسپیکاک و مائزلا، ۲۰۰۹). در این مدل، زون با کمترین مقدار مقاومت ویژه به صورت یک پوشش رُسی که در بالای مخزن زمین‌گرمایی قرار دارد منطبق است در حالی که مقاومت ویژه خود مخزن بسته به مورد ممکن است خیلی بیشتر و در محدوده ۱۰ تا ۶۰ اهمتر و حتی تا ۱۰۰ اهمتر نیز باشد.

۴ جمع‌آوری داده‌های مگنتوتلوریک منطقه مورد بررسی

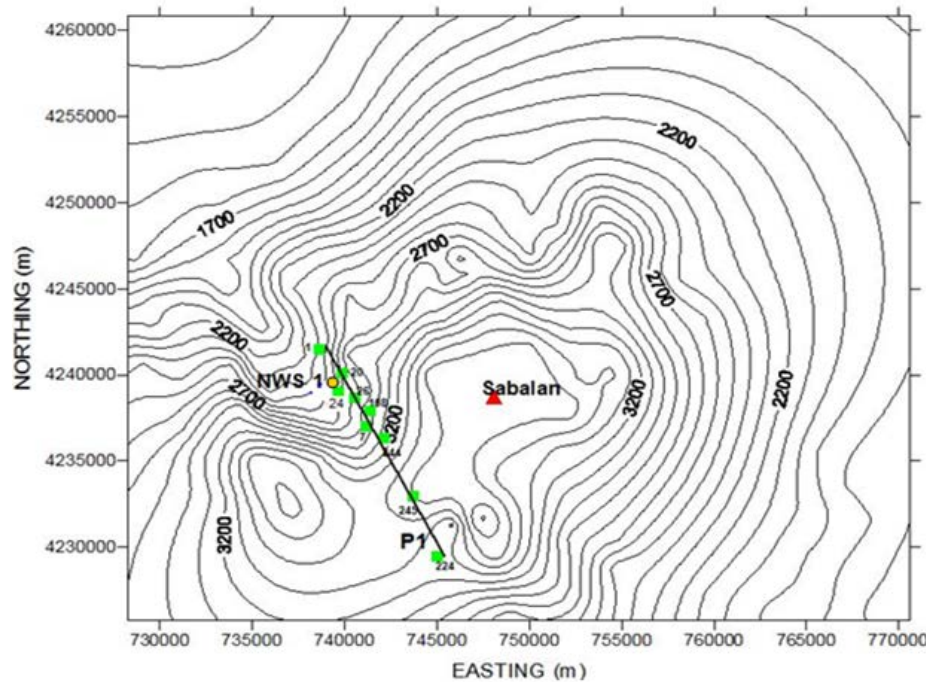
در این تحقیق از داده‌های MT چند ایستگاه روی نیمرُخ P1 واقع در دره مویل که در ۲۰۰۷ و ۲۰۰۹ از سوی شرکت فیلیپینی EDC برداشت شده بود استفاده شد. موقعیت ایستگاه‌ها و نیمرُخ P1 در شکل ۳ نشان داده شده است. جمع‌آوری داده‌ها با استفاده از دستگاه Phoenix MTU-5A با بازه بسامدی ۰/۰۰۰۵ تا ۳۸۰ هرتز صورت گرفته است. سپس داده‌های پردازش شده با قالب EDI (قالی) برای تبادل الکترونیکی اطلاعات: WinGLink (ژئوسامانه، ۲۰۰۳) تصحیح، تحلیل و مدل‌سازی می‌شوند.

نسبت کلریت و یا ایلیت با دما (به خصوص در دمای بالای ۱۸۰ درجه سلسیوس) افزایش می‌یابد. در دمای ۲۲۰ تا ۲۴۰ درجه سلسیوس زئولیت‌ها و اسماکتیت‌ها ناپدید می‌شوند و کلریت یا ایلیت خالص ظاهر می‌شود در دمای بالاتر از ۲۴۰ درجه سلسیوس کانی‌هایی از جمله سریسیت و اپیدوت در دگرسانی‌های پروپلتیکی رخ می‌دهند (سوهارنو و همکاران، ۲۰۰۱؛ یانگ و همکاران، ۲۰۰۰).

در ادامه دو نوع مدل مفهومی منابع زمین‌گرمایی رایج در دنیا عرضه خواهد شد. در نواحی زمین‌گرمایی، اگر توپوگرافی بسیار شدید باشد و گرادیان آب شناختی در زیر سطح زمین قابل توجه باشد، ساختارهای فوکانی سامانه زمین‌گرمایی بسیار پیچیده می‌شود (شکل ۲-الف). در چنین مدلی لایه رُسی رسانا مانند اسماکتیت ممکن است که در بالای زون بالا رونده (upflow) در عمق زیاد و در نواحی خروجی شاره سرد بسیار نزدیک به سطح باشد. در این موارد، بی‌هنجاری مقاومت ویژه در بالای مرکز مخزن زمین‌گرمایی قرار ندارد (اندرسون و همکاران، ۲۰۰۰). اما جایی که نفوذپذیری زیاد و دگرسانی فراگیر است مدل مفهومی از مخزن منبع زمین‌گرمایی که در شکل ۲-ب نشان داده شده است رایج است. این نوع مخازن در کشورهای ایسلند، نیوزیلند، السالوادر، جیبوتی، اندونزی و



شکل ۲. (الف) مدل مفهومی سامانه زمین‌گرمایی در یک زمین شیب‌دار. (ب) مدل مفهومی مقاومت ویژه از سامانه زمین‌گرمایی با دگرسانی وسیع (جانسون و همکاران، ۱۹۹۲).



شکل ۳. موقعیت قرارگیری نیم رخ P1 و سوندازهای مگنتوتلوریک (مریع های سبزرنگ) به همراه موقعیت چاه NWS-1 (دایره زردرنگ) روی نقشه توپوگرافی منطقه سبلان.

$$Z_4 = (Z_{xx} - Z_{yy})/2 \cdot$$

علامت پریم در روابط (۱) بیانگر این است که عنصرهای تانسور امپدانس چرخش یافته‌اند (θ : زاویه ساعت‌گرد است). روابط موجود بین مولفه‌های افقی (Hx, Hy) و میدان مغناطیسی (Ex, Ey) میدان الکتریکی (Ex, Ey) و میدان مغناطیسی (Hx, Hy) در سطح زمین به صورت $E_i = Z_{ij} H_j$ بیان می‌شود که در آن $i, j = x, y$ و Z_{ij} تانسور مختلط 2×2 امپدانس در هر بسامد است. برای ساختارهای یک بعدی عنصرهای قطري تانسور امپدانس برابر در این حالت مولفه غیرقطري تانسور امپدانس برای حالتی که میدان الکتریکی ثبت شده موازی امتداد باشد (یعنی مُد قطبش الکتریک عرضی یا Transverse Electric, TE در راستای عمود بر امتداد ساختار اندازه‌گیری شود (یعنی مُد مغناطیسی عرضی و یا Transverse Magnetic, TM) متفاوت خواهد بود. در عمل برای به دست آوردن جهت

۵ تعیین بعد، مدلسازی و تفسیر داده‌های MT

مهم‌ترین موضوع قبل از مدلسازی داده‌های MT تعیین بعد ساختارهای زیرسطحی است. روش‌های متفاوتی برای تعیین بعد بی‌亨جاری‌های زیرسطحی وجود دارد (کائو و اور، ۱۹۸۲؛ بار، ۱۹۸۸). اما در این تحقیق از تعداد محدودی از آنها به صورت کمی در تفسیر داده‌های MT استفاده می‌شود. قبل از تعریف پارامترهای تعیین بعد، به بررسی پارامترهای نامتغير چرخشی Z_1 و Z_2 و دو پارامتر متغیر چرخشی Z_3 و Z_4 عنصرهای تانسور امپدانس می‌پردازیم:

(۱)

$$Z_1 = (Z_{xy} - Z_{yx})/2 = (Z'_{xy}(\theta) - Z'_{yx}(\theta))/2$$

$$Z_2 = (Z_{xx} + Z_{yy})/2 = (Z'_{xx}(\theta) + Z'_{yy}(\theta))/2$$

$$Z_3 = (Z_{xy} + Z_{yx})/2$$

ساختار دوبعدی دیگر صفر نیستند.

به علت این مسئله، بار (۱۹۸۸) چولگی حساس به فاز (phase sensitive skew) را در حکم یک شاخص اندازه‌گیری بعد ساختار ناحیه‌ای پیشنهاد داد که به صورت زیر تعریف می‌شود:

$$\eta = \sqrt{C} / |Z_1|, \quad (4)$$

و در آن $C = [Im(Z_3 Z_4^*)] - [Im(Z_1 Z_2^*)]$ و علامت * به مزدوج مختلط عبارت اشاره می‌کند. یکی از مسائل اصلی، نبود توافق روی کران بالای مقدار چولگی برای ساختارهای سهبعدی است (مرادزاده، ۱۹۹۸). با توجه به نتایج مدل‌سازی سهبعدی ردی و همکاران (۱۹۷۷)، تینگ و هومن (۱۹۸۱) به ترتیب محدوده بالا را $0/2$ و $0/12$ تعریف کردند. همچنین هرمنس (۱۹۸۲) روشن ساخت که مقدار چولگی بین $0/001$ و $0/72$ به علت ناهمگنی‌های سطحی نمی‌تواند به صورت دقیق، بیانگر تاثیرات ساختارهای سهبعدی باشد. همچنین تجربه حاصل از مدل‌سازی داده‌های واقعی نشان می‌دهد که در بسیاری از موارد، مقادیر متوسط چولگی حدود $0/4$ و یا حتی بیشتر است در حالی که سایر شواهد اشاره به ساختارهای یک بعدی و یا دوبعدی دارند (کائو و اور، ۱۹۸۲). علت این مسئله حساسیت بیش از حد این پارامترها به نوافه‌های موجود در داده‌های اندازه‌گیری شده MT است.

به منظور بررسی این مشکل، بعد ساختارهای منطقه مورد تحقیق با استفاده از شاخص‌های ابعادی بهنجارشده (D_1 , D_2 , D_3) کائو و اور (۱۹۸۲) ارزیابی می‌شوند. این شاخص‌ها نیز یک اندازه مطلق از بعد زمین را به دست نمی‌دهند، اما وقتی به صورت گلی تفسیر می‌شوند ممکن است برآورده از توزیع متفاوت ساختارها را در زمین عرضه کنند. روابط مرتبط با این شاخص‌ها در زیر آورده شده است:

$$D_1 = |Z_1| / \gamma$$

امتداد ساختارهای ژئوکتریک زیرسطحی منطقه، تانسور امپدانس اندازه‌گیری شده درجه حرکت عقربه ساعت طوری چرخانده می‌شود تا عنصرهای قطری آن صفر و یا در حضور نوافه کمینه شوند و زاویه‌ای که چنین حالت را نتیجه دهد با 90° درجه ابهام امتداد ساختارهای ژئوکتریک دوبعدی منطقه است که در عمل به کمک اطلاعات زمین‌شناسی یا داده‌های تیپر (مرادزاده، ۲۰۰۳) این ابهام بر طرف می‌شود. برای ساختارهای سهبعدی هیچ یک از مولفه‌های تانسور امپدانس صفر نخواهد بود. به منظور تعیین بعد، کمیت‌هایی تعریف می‌شوند که یکی از این کمیت‌ها به صورت رابطه (۲) است (ورد و همکاران، ۱۹۷۰):

$$e = \frac{|Z'_{xx} - Z'_{yy}|}{|Z'_{xy} + Z'_{yx}|}, \quad (2)$$

این کمیت را بیضی‌وارگی (Ellipticity) می‌نامند، نماد Z' بیانگر تانسور امپدانس چرخش‌یافته است. پارامتر بعدی چولگی یا اسکیو (Skew) است که به صورت رابطه (۳) تعریف می‌شود (سویفت، ۱۹۶۷):

$$S = \frac{|Z_2|}{|Z_1|} = \frac{|Z_{xx} + Z_{yy}|}{|Z_{xy} - Z_{yx}|}. \quad (3)$$

اگر ساختار زمین‌شناسی یک بعدی و یا دوبعدی ناشفته (undistorted) در اثر ناهمگنی‌های سطحی باشد، آنگاه مقدار چولگی صفر و یا نزدیک به صفر است. برای ساختارهای زمین‌شناسی یک بعدی و یا دوبعدی آشفته پارامتر چولگی می‌تواند مقدار زیادی داشته باشد. با این حال اگر مقدار آن از $0/3$ تجاوز کند باید محدوده موردنظر به صورت سهبعدی بررسی شود (مرادزاده، ۱۹۹۸؛ نقی‌زاده، ۱۳۸۲). البته کمیت‌های فوق برای تعیین بعد ساختارهای زیرسطحی خیلی قابل اعتماد نیستند. برای مثال اگر داده‌ها به نوافه آلووده باشند و یا متأثر از ناهمگنی‌های الکتریکی نزدیک سطح شوند این پارامترها برای

اکثر ایستگاه‌ها (به جز ایستگاه ۲۰) در این بازه زمانی صادق است که می‌تواند دلیلی بر یک بعدی بودن ساختار منطقه مورد بررسی در بازه زمانی کمتر از ۱ ثانیه باشد. البته روند کلی تغییرات در این شکل‌ها مدنظر است و بررسی نقطه به نقطه صورت نمی‌گیرد. در مواردی که در این بازه زمانی خلاف این شرط مشاهده می‌شود علت ممکن است نوفه موجود در داده‌ها و یا اثرات ناهمگنی‌های سطحی باشد. در دوره‌های بیشتر از ۱ ثانیه مقدار چولگی و بیضی‌وارگی در بعضی از ایستگاه‌ها از ۰/۳ تجاوز پیدا می‌کند. همچنین مقدار D2 و D3 در این بازه زمانی بیشتر از ۰/۲ است؛ که ظاهراً بیانگر دو بعدی و یا سه بعدی بودن ساختار در اعمق زیاد است با این حال مقدار چولگی حساس به فاز در این بازه زمانی در غالب ایستگاه‌ها (با استثنای ایستگاه‌های ۱، ۲۰ و ۲۴۵) زیر ۰/۳ است. با توجه به موارد فوق می‌توان نتیجه گرفت که در دوره‌های کمتر از ۱ ثانیه (اعماق کم) ساختارهای زیرسطحی یک بعدی و در اعمق زیاد (بیشتر از ۱ ثانیه) ساختارها اغلب دو بعدی هستند که گاهی (مثلًا برای ایستگاه‌های ۱، ۲۰ و ۲۴۵) ممکن است به واسطه توده‌های ناهمگن سه بعدی سطحی و یا نوفه موجود در داده‌ها تحت تاثیر قرار گرفته باشند.

۱-۵ مدل‌سازی یک بعدی و دو بعدی داده‌ها و تحلیل نتایج

در مدل‌سازی یک بعدی داده‌های MT با توجه به معلوم بودن رابطه تحلیلی مربوط به اپدانس الکتریکی برای محیط n لایه‌ای به صورت بازگشتی، می‌توان با استفاده از روش‌های وارون‌سازی غیرخطی، پارامترهای مدل یعنی ضخامت و مقاومت الکتریکی لایه‌ها را به دست آورد. روش عمومی برای این منظور بسط تیلور رابطه موردنظر و سپس محاسبه مشتقات جزئی آن نسبت به پارامترهای مدل و کمینه‌سازی خطای برآورد اولیه در مراحل کوششی

$$\begin{aligned} D_2 &= |M_1|/\gamma \\ D_3 &= |Z_2|/\gamma \\ D'_3 &= \frac{|M_2|}{\gamma} \end{aligned} \quad (5)$$

$$\gamma = |Z_1| + |M_1| + (|Z_2| + |M_2|)/2$$

$$M_1 = [Z'_{xy}(\theta_0) + Z'_{yx}(\theta_0)]/2$$

$$M_2 = [Z'_{xx}(\theta_0) - Z'_{yy}(\theta_0)]/2,$$

و θ_0 زاویه‌ای است که در آن $|M_1|$ به بیشینه مقدار خود می‌رسد.

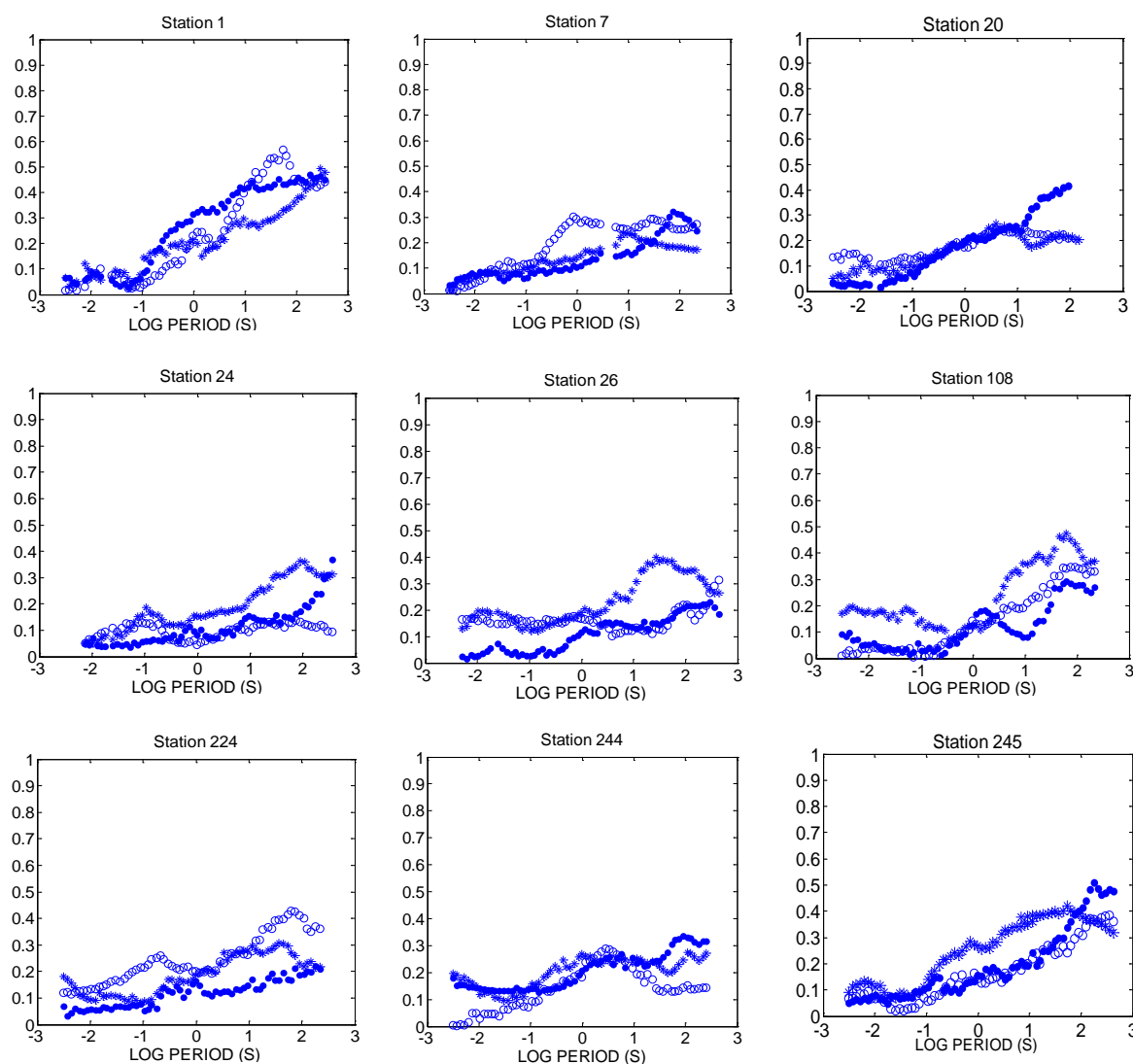
نتایج تحقیقات قبلی نشان می‌دهد که اگر در عمل از میانگین D₃ و D'₃ در حکم شاخص وزنی ساختارهای سه بعدی استفاده شود، نتایج بهتری حاصل می‌شود (کائو و اور، ۱۹۸۲؛ مرادزاده، ۱۹۹۸). بنابراین در این مقاله نیز چنین عمل شده است. همه این شاخص‌ها بین صفر و یک تغییر می‌کنند. برای ساختارهای یک بعدی، شرایط D₁>D₂>D₃ قابل انتظار است. شاخص‌های D₁ و D₂ رفتار عکس با هم دارند و مقادیر D₂ و D₃ بزرگ‌تر از ۰/۲ بیانگر این است که ساختارهای دو بعدی و سه بعدی نیز در منطقه وجود دارند (بیمیش، ۱۹۸۶). برای تحلیل ابعادی، کدهای رایانه‌ای لازم با استفاده از روابط ذکر شده در محیط برنامه‌نویسی متلب تهیه و سپس پارامترها و اندرس‌های مربوط محاسبه شد. شکل ۴ مقادیر چولگی، بیضی‌وارگی و چولگی حساس به فاز و شکل ۵ مقادیر شاخص‌های D₁، D₂ و D₃ را برای ایستگاه‌های اندازه‌گیری MT نیم رُخ P1 نشان می‌دهند.

همان‌طور که در شکل ۴ دیده می‌شود برای اکثر ایستگاه‌ها مقادیر چولگی، چولگی حساس به فاز و بیضی‌وارگی در زمان‌های کمتر از ۱ ثانیه کوچک‌تر از ۰/۳ و به علاوه با توجه به شکل ۵، شرط D₁>D₂>D₃ در

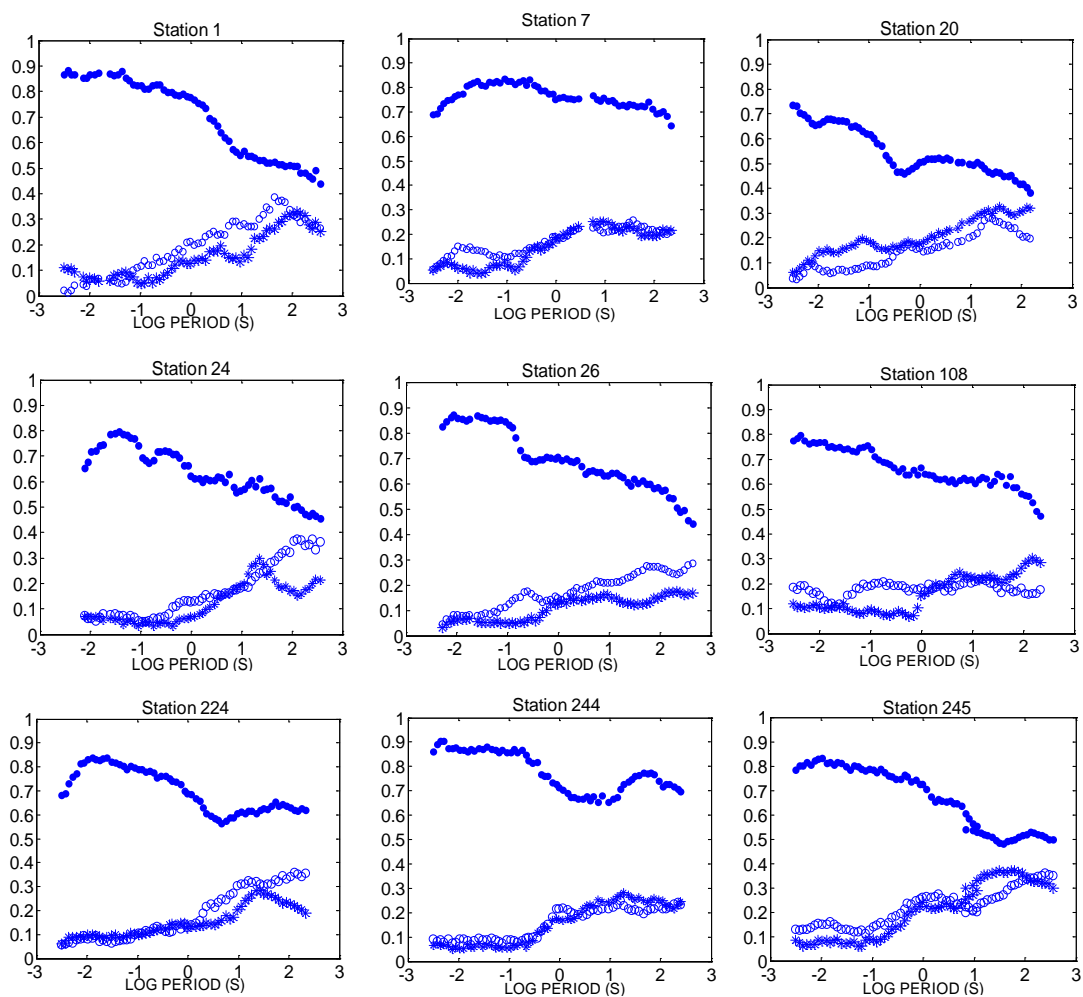
اوکام یا روش منظم‌سازی برای وارون‌سازی مسائل غیرخطی است (کانتیل و همکاران، ۱۹۸۷). در این روش ابتدا مشتق پارامترهای مقاومت ویژه از لحاظ خطای بررسی و یا به اصطلاح جریمه‌بندی می‌شوند که در نتیجه آن، جواب‌های مدل با گرادیان‌های رسانایی هموار شده قائم و جانبی به دست می‌آید (دی گروت هدلین، ۱۹۹۵).

متوالی است که درنهایت با افزودن مقدار تغییرات پارامترها در هر مرحله، در آخرین کوشش که بهترین برازش بین داده‌ها و جواب مدل ایجاد می‌شود، پارامترهای نهایی مدل بدست می‌آید (مجو، ۲۰۰۱).

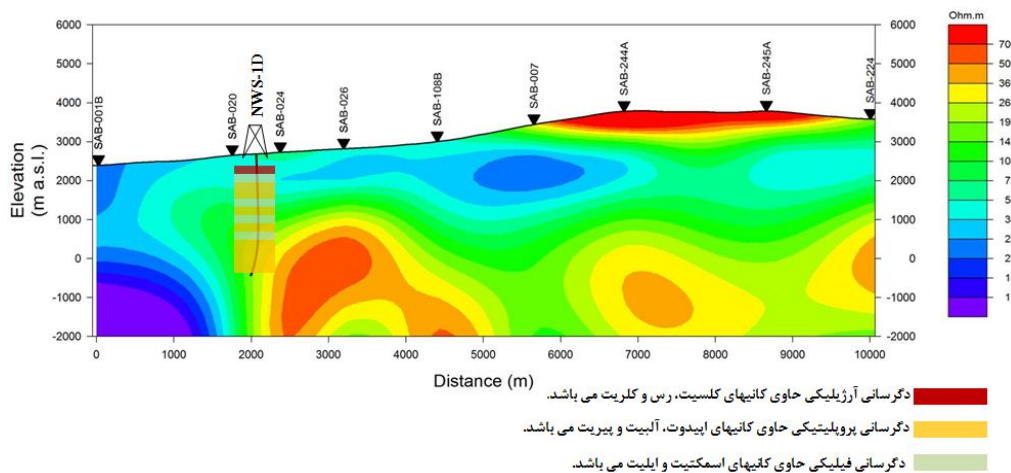
الگوریتم استفاده شده در وارون‌سازی یک‌بعدی داده‌های MT مشکین شهر، الگوریتم وارون‌سازی هموار



شکل ۴. تغییرات مقادیر پارامترهای ابعادی چولگی (دایره توپر)، بیضی‌وارگی (دایره توخالی) و چولگی حساس به فاز (ستاره) در دورهای متفاوت برای ایستگاه‌های اندازه‌گیری MT نیم‌رخ P1.



شکل ۵. تغییرات مقادیر شاخص های ابعادی بهنجار شده D_1 (دایره توپر)، D_2 (دایره تو خالی) و D_3 (ستاره) در دوره های مختلف برای ایستگاه های P1 اندازه گیری MT نیم رُخ



شکل ۶. مقطع مقاومت ویژه حاصل از مدل سازی یک بعدی او کام داده های سوند از های مگنتوتولوریک نیم رُخ P1.

که در اعمق زیاد قرار گرفته‌اند روی مدل یک‌بعدی به دست آمده تاثیر خواهند گذاشت. به همین منظور مدل سازی دو‌بعدی نیز روی این داده‌ها صورت گرفت. روش مورد استفاده در مدل‌سازی وارون دو‌بعدی داده‌ها، روش هموار رودی و مکی است که بر پایه الگوریتم گرادیان مزدوج غیرخطی استوار است (رودی و مکی، ۲۰۰۱). برای مدل‌سازی وارون هموار یک‌بعدی و دو‌بعدی از مدل اولیه‌ای همگن با مقاومت ویژه ۱۰۰ متر استفاده شد و علاوه بر آن از خطای کف ۱۰ و ۵ درصد به ترتیب برای داده‌های مقاومت ویژه ظاهری و فاز استفاده شد.

مدل یک‌بعدی اوکام سوندazerهای نیم‌رُخ P1 به همراه دگرسانی‌های مشاهده شده در چاه NWS-1 که در فاصله تقریبی ۵۰۰ متری غرب سوندazer ۲۴ و ۱ کیلومتری جنوب غرب سوندazer ۲۰ مگنتوتولوریک قرار گرفته است در شکل ۶ آورده شده است. در این شکل حضور ساختارهای لایه‌ای از سطح تا ارتفاع عمقی ۱۰۰۰ متر بالاتر از سطح دریا به خوبی مشهود است که خود تا حدودی زیاد تحلیل‌های قبلی مبنی بر وجود ساختارهای یک‌بعدی در اعماق کم را تأیید می‌کند. در شکل فوق و در نزدیکی سطح زمین و در حدفاصل سوندazerهای ۷ تا ۲۴۵ لایه مقاومی با ضخامت بیشینه ۵۰۰ متر و مقاومت ویژه بیش از ۵۰۰ اهم‌متر ملاحظه می‌شود که با توجه به اطلاعات نقشه زمین‌شناسی آن را می‌توان به آندزیت و داسیت پروفیری و یا گدازه‌های تراکیت - تراکی آندزیت پروفیری ناحیه نسبت داد. علاوه بر آن لایه‌های رسانا موجود در زیر سوندazerهای ۲۴ تا ۲۴۴ از سطح تا تراز عمقی حدود ۱۷۰۰ متری از سطح دریا و با مقاومت ویژه کمتر از ۴۰ اهم‌متر را می‌توان به پوش رُسی که در بالای منع زمین‌گرمایی قرار گرفته است نسبت داد. این کلاهک رُسی در اثر افزایش دما و دگرسانی کانی‌ها شکل می‌گیرد. در زیر این پوش رُسی واحدهای سنگی با مقاومت ویژه بین ۴۰ تا ۱۰۰ اهم‌متر قرار دارد که احتمالاً می‌توان آن را به متله

مسئله اصلی که در سوندazer MT با آن مواجه می‌شویم آشفتگی میدان الکترومغناطیسی، به علت تغییرات عرضی در مقاومت ویژه توده‌های سطحی نزدیک سطح است. در چنین شرایطی، در یک مقایس تمام لگاریتمی، منحنی سوندazer مقاومت ویژه بحسب بسامد/دور برای سایت‌های مجاور هم، غالب شکل یکسانی دارد ولی به صورت موازی و در راستای قائم به طور مستقل از بسامد نسبت به هم جابه‌جا می‌شوند. به این پدیده جابه‌جایی ایستا (static shift) گفته می‌شود که در صورت نبود تصحیح، خطای قابل توجهی را در مدل‌سازی و تفسیر داده‌های MT ایجاد می‌کند. علت این جابه‌جایی‌های قائم اثر ناهمگنی‌های سطحی کم‌عمق و یا اثرات توپوگرافی و یا هر دوی آنها است (مرادزاده، ۲۰۰۳).

در این تحقیق اثر جابه‌جایی ایستا قبلاً با استفاده از داده‌های الکترومغناطیس گذرا (TEM) اندازه‌گیری شده در حوزه زمان برای هر سوندazer تصحیح شده است. برای مدل‌سازی یک‌بعدی، معمولاً داده‌های مُد TE مورد استفاده قرار می‌گیرد، چون این داده‌ها نسبت به داده‌های مُد TM کمتر تحت تاثیر ناهمگنی‌های سطحی قرار می‌گیرند. بررسی‌های صورت گرفته قبلی نشان می‌دهد که مُد TE ساختارهای عمیق و مقاوم را بهتر نشان می‌دهد و مُد TM به ناهمگنی‌های سطحی بیشتر حساس است و ساختارهای نزدیک به سطح را بهتر نشان می‌دهد. علاوه بر آن نتایج قبلی مدل‌سازی یک‌بعدی داده‌های مقاومت ویژه و فاز مُد میانگین ($Z_{av} = Z_1 - Z_{yx}/2$) که مستقل از چرخش نیز هست به علت استفاده از داده‌های هر دو مُد TE و TM می‌تواند اطلاعات کمی به نسبت خوبی از ساختارهای منطقه را حتی در حضور ساختارهای دو‌بعدی در اختیار قرار دهد (پارک و لاپولی بروک، ۱۹۸۹).

لذا در این تحقیق برای مدل‌سازی یک‌بعدی داده‌های MT از مُد میانگین استفاده شد. البته ساختارهای دو‌بعدی

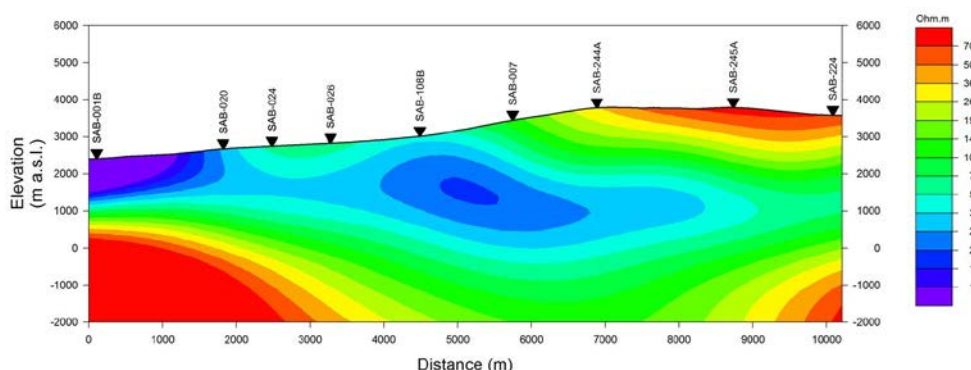
در تراز عمقی ۵۰۰ تا ۱۵۰۰ متری بالای سطح دریا در زیر سوندماژهای ۷ تا ۲۴۵ در سمت جنوب تا جنوب شرقی ناحیه و در داخل سنگ موئزوئیتی حاوی دگرسانی اپیدوتی قرار گرفته است. همچنین با توجه به نتایج مدلسازی های صورت گرفته و مدل مفهومی آورده شده در شکل ۲-الف محل بالآمدگی گازها و شاره های داغ سامانه گرمایی احتمالاً باید در جنوب شرقی نیم رُخ مورد بررسی و در محل زیر سوندماژهای ۲۴۵ و یا سمت چپ آن در اعمق بیش از ۱۵۰۰ متری سطح دریا باشد.

۶ نتیجه گیری

نتایج حاصل از بررسی حاضر و به کار گیری پارامترهای ابعادی گوناگونی مثل بیضی وارگی، چولگی، چولگی حساس به فاز و شاخص های وزنی D_3 , D_2 , D_1 دلالت بر این دارند که ساختارهای زیرسطحی منطقه در زمان های کمتر از ۱ ثانیه (اعمق کم تا متوسط) یک بعدی و در دوره های بیشتر از ۱ ثانیه (اعمق زیاد) اغلب دو بعدی هستند. علاوه بر آن براساس نتایج مدل سازی یک بعدی و دو بعدی و اطلاعات حفاری منطقه، می توان گفت که پوش رُسی در بالای منبع زمین گرمایی مشکل از کانی های رُسی اسمکتیت، آلبیت و ایلیت است و منبع زمین گرمایی در زیر این پوش رُسی و در عمق تقریبی ۵۰۰ تا ۱۵۰۰ متری از سطح دریا و در داخل سنگ های موئزوئیتی قرار گرفته است.

سنگ مخزن منبع زمین گرمایی منطقه که روی واحدهای سنگی با مقاومت ویژه تا ۹۰۰ متر قرار گرفته اند، تفسیر کرد. با توجه به اطلاعات نقشه ها و مقاطع زمین شناسی منطقه، این واحدهای مقاوم ممکن است به توده های آذرین تراکی آندزیت و یا لاکولیت های داسیتی و ریوداسیت مرتبط باشند. شکل ۷ نیز مقاطع ژئوالکتریک حاصل از مدلسازی وارون دو بعدی داده های هر دو مُد TE و TM را برای سوندماژهای نیم رُخ P1 با خطای (Error ۲/۶۳) درصد نشان می دهد. با مقایسه این شکل و شکل ۶ می توان گفت که نتایج مدلسازی دو بعدی با نتایج مدلسازی یک بعدی در اعمق کم و متوسط تقریباً یکسان هستند که این نتیجه خود تاییدی دیگر بر نتایج تعیین بعد ساختارهای ژئوالکتریکی در منطقه است.

اطلاعات حفاری چاه NWS-1 نشان می دهد که از سطح به عمق توالی دگرسانی کانی ها به این صورت است که ابتدا دگرسانی کلسیت- کلریت و در ادامه اسمکتیت- ایلیت، آلبیت- اپیدوت، ایلیت- اپیدوت رخ داده است. همچنین پوش رُسی که در بالای منبع زمین گرمایی قرار گرفته است حاوی کانی رُسی اسمکتیت، آلبیت و ایلیت است. با این توضیحات و با توجه به نتایج مدلسازی داده های MT (شکل های ۶ و ۷)، مدل سامانه زمین گرمایی منطقه تقریباً شبیه مدل عرضه شده در شکل ۲-الف خواهد بود و مخزن زمین گرمایی با توجه به مقاطع ژئوالکتریک حاصل از مدلسازی دو بعدی (شکل ۷) تقریباً



شکل ۷. مقاطع مقاومت ویژه حاصل از مدلسازی دو بعدی داده های TE و TM سوندماژهای مگنتوتولوریک نیم رُخ P1.

- Constable, S.C., Parker, R.L., and Constable, C.G., 1987, Occam's inversion: A practical algorithm for generating smooth models from electromagnetic sounding data: *Geophysics*, **52**, 289–300.
- DeGroot -Hedlin, C., 1995, Inversion for regional 2-D resistivity structure in the presence of galvanic scatterers: *Geophys. J. Int.*, **122**, 877–888.
- EDC (Energy Development Corporation), 2008, 2007 MT Survey of NW Sabalan Geothermal Project: Report submitted to SUNA, 19.
- EDC (Energy Development Corporation), 2010. 2009 MT Survey at NW Sabalan Geothermal Project, NW Iran: Report submitted to SUNA, 33 pp.
- Geosystem SRL., 2003, A guide for using WinGLink software, ver.2. 1. 1.
- Hermance, J.F., 1982, The asymptotic response of three-dimensional basin effects to magnetotelluric field at long period: The effects of current channeling: *Geophysics*, **47**, 1562–1573.
- Johnston, J. M., Pellerin, L., and Hohmann, G. W., 1992, Evaluation of electromagnetic methods for geothermal reservoir detection: *Geothermal Resources Council Transactions*, **16**, 241–245.
- Kao, D., and Orr, D., 1982, Magnetotelluric studies in the Market Weighton area of eastern England: *Geophys. J. Roy. Astr. Soc.*, **70**, 323–337.
- Kaufman, A. A., and Keller, G.V., 1981, The Magnetotelluric sounding method: Elsevier scientific publishing company, Amsterdam, 595 pp.
- Kingston Morrison, 1998, Sabalan geothermal project: Review of existing data: Report No. 2505-RPT-GE-003, Revision 0, Internal report prepared for SUNA.
- Kingston Morrison, 1999, Sabalan Geothermal Project, Stage 1 - Surface Exploration: Volume 1, Report on Geophysical Survey. 2505-RPT-GE-016.
- Lezaeta, P., 2001, Distortion Analysis and 3-D Modeling of Magnetotelluric Data in the Southern Central Andes: Ph.D. Thesis, Berlin Free University.
- Meju, M. A., 2001, Geophysical data analysis: Understanding inverse problem theory and practice: Course notes series No. 6, Society of Exploration Geophysicists.
- Moradzadeh, A., 2003, Using of tipper function to map subsurface conductivity structures in Magnetotelluric (MT) surveys: 21st Geoscience Conference and Exposition.

همچنین با توجه به نتایج مدل‌سازی‌های صورت گرفته روی داده‌های سوندأژهای متفاوت و مقایسه آن با مدل‌های مفهومی رایج سامانه زمین‌گرمایی می‌توان گفت که محل اصلی بالآمدگی گازها و شاره‌های داغ سامانه گرمایی یا همان زون داغ اصلی سامانه زمین‌گرمایی احتمالاً در جنوب شرقی منطقه و قسمت‌های انتهایی نیم‌رُخ P1 در حد فاصل سوندأژهای ۲۴۴-الف (244A) تا ۲۴۵ و در اعماق بیش از ۱۵۰۰ متری سطح دریا قرار گرفته باشد.

تشکر و قدردانی

در پایان لازم است که از مسئولان سازمان انرژی‌های نو ایران (سانا) که اطلاعات و داده‌های موردنبیاز را در اختیار ما قرار دادند، صمیمانه تشکر و قدردانی کنیم.

منابع

نقی‌زاده، م.، ۱۳۸۲، کاربرد روش مگنتوتلوریک در اکتشاف ذخایر ژئوتermal منطقه خوی: پایان‌نامه کارشناسی ارشد، مؤسسه ژئوفیزیک، دانشگاه تهران.

Anderson, E., Crosby, D., and Ussher, G., 2000, Bulls-eye! – simple resistivity imaging to reliably locate the geothermal reservoir: Proc. World Geothermal Congress, Kyushu-Tohoku, Japan, 909–914.

Arnason, K., Karlsdottir, R., Eysteinsson, H., Flovenz, O.G., and Gudlaugsson, S.T., 2000, The Resistivity Structure of High-Temperature Geothermal Systems in Iceland: Geothermal Congress, Kyushu-Tohoku, Japan, 923–928.

Bahr, K., 1988, Interpretation of the magnetotelluric impedance tensor: Regional induction and local telluric distortion: *Geophysics*, **62**, 119–127.

Beamish, D., 1986, Geoelectric structural dimensions from Magnetotelluric data: Methods of estimation, old and new: *Geophysics*, **51**, 1298–1309.

Cagniard, L., 1953, Basic theory of magnetotelluric method of geophysical prospecting: *Geophysics*, **18**, 605–635.

- Abstract. AAPG Bulletin, **84**, 1498.
- Swift, C. M., 1967, A Magnetotelluric Investigation of an Electrical Conductivity Anomaly in the Southwestern of United States: Ph.D. Thesis, Mass. Inst. Tech.
- Talebi, B., Khosrawi, K., and Ussher, G. H., 2005, Review of Resistivity Surveys from the NW Sabalan Geothermal Field, Iran: Proceedings, 2005 World Geothermal Congress, Antalya, Turkey.
- Tiktonov, A. N., 1950, On determining electrical characteristics of the deep layers of the earth's crust: Dokl. Akad. Nauk Rus, **73**, 281–285.
- Ting, S.C., and Hohmann, G.W., 1981, Integral equation modeling of three-dimensional magnetotelluric response: Geophysics, **46**, 182–197.
- Vozoff, K., 1972, The magnetotelluric method in the exploration of sedimentary basins: Geophysics, **36**, 98–141.
- Vozoff, K., 1991, The magnetotelluric method, in Nabighian, M.N., (Ed), Electromagnetic Methods in applied Geophysics: Tulsa, Okla, Society of Exploration Geophysicists, 641–712.
- Word, D. R., Smith, H. W., and Bostick, F. X. J., 1970, An investigation of the magnetotelluric tensor impedance method: EGRL tech. rep. no. **82**, Univ. of Texas, Austin.
- Wright, P., Ward, S., Ross, H., and West, R., 1985, State-of-the-art geophysical exploration for geothermal resources: Geophysics, **50**, 2666–2699.
- Yang, K., Browne, P. R. L., Huntington, J. F., and Walshe, J. L., 2001, Characterising the hydrothermal alteration of the Broadlands-Ohaaki geothermal system, New Zealand, using short-wave infrared spectroscopy: J. Volcanol. Geotherm. Res., **106**, 53–65.
- Tehran.
- Moradzadeh, A., 1998, Electrical Imaging of the Adelaide Geosyncline Using Magnetotelluric (MT): Ph.D. Thesis, Flinders University of south Australia, 334 pp.
- Noorollahi, Y., Itoi, R., Fujii, H., and Tanaka, T., 2008, GIS integration model for geothermal exploration and well siting: Geothermics, **37**, 107–131.
- Oskooi, B., Pedersen, L. B., Smirnov, M., Arnason, K., Eysteinsson, H., and Manzella, A., 2005, The deep geothermal structure of the Mid-Atlantic Ridge deduced from MT data in SW Iceland: Earth Planet Inter., **150**, 183–195.
- Park, S.K. and Livelybrooks, D.W., 1989, Quantitative interpretation of rotationally invariant parameters in magnetotellurics: Geophysics, **54**, 1483–1490.
- Reddy, I. K., Rankin, D., and Phillips, R. J., 1977, Three-dimensional modelling in magnetotelluric and magnetic variational sounding: Geophys. J. Roy. Astr. Soc., **51**, 313–325.
- Rodi, W. and Mackie, R.L., 2001, Nonlinear conjugate gradients algorithm for 2-D magnetotelluric inversion: Geophysics, **66**, 174–187.
- Sinclair Knight Merz, (SKM), 2003, NW Sabalan Geothermal Project, MT survey re-analysis: Report submitted to SUNA Renewable Energy Organization of Iran.
- Spichak, V. V., Manzella, A., 2009, Electromagnetic sounding of geothermal zones: J. Appl. Geophys, **68**, 459–478.
- Suharno, S., Browne, P. R. L., Soengkono, S., and Sudarman, S., 2000, A geophysical model and the subsurface geology at the Ulubelu geothermal area, Lampung, Indonesia: